

سُبْحَانَ رَبِّ الْعَالَمِينَ



دانشکده فنی و مهندسی

گروه مهندسی عمران

پایان نامه‌ی کارشناسی ارشد رشته‌ی مهندسی عمران گرایش سازه

موضوع:

بررسی تاثیر نانورس بر عملکرد خمشی تیرهای بتن مسلح تحت بارهای بهره-
برداری و تهاجم کلراید

استاد راهنما:

دکتر حمید رحمانی

استاد مشاور:

دکتر شهاب الدین حاتمی

پژوهشگر:

طالب رودیان

تیرماه ۱۳۹۳

رساله‌ی حاضر، حاصل پژوهش‌های نگارنده در دوره‌ی کارشناسی ارشد رشته‌ی مهندسی عمران گرایش سازه است که در تیرماه سال ۱۳۹۳ در دانشکده‌ی فنی و مهندسی دانشگاه یاسوج به راهنمایی جناب آقای دکتر حمید رحمانی و مشاوره‌ی جناب آقای دکتر شهاب الدین حاتمی از آن دفاع شده و کلیه‌ی حقوق مادی و معنوی آن متعلق به دانشگاه یاسوج است.

فهرست مطالب

صفحه	عنوان
	فصل اول: کلیات
۱	۱-۱ مقدمه
۲	۱-۲ ضرورت انجام تحقیق
۳	۱-۳ اهداف تحقیق
۳	۴-۱ روش تحقیق
۴	۵-۱ مروری بر فصول پایان نامه
	فصل دوم: خوردگی آرماتور در تیرهای بتن آرمه
۵	۱-۲ مقدمه
۶	۲-۲ بتن مسلح و خوردگی میلگرد ها
۶	۱-۲-۲ بتن
۷	۲-۲-۲ بتن مسلح
۸	۱-۲-۲-۲ میلگرد های خمثی (طولی) و برشی (عرضی) در تیرهای بتن مسلح
۹	۲-۲ دوام بتن مسلح در برابر تهاجم یون کلراید
۹	۱-۳-۲-۲ مکانیزم خوردگی میلگرد در بتن
۱۱	۲-۳-۲-۲ مکانیزم خوردگی آرماتور در حضور یون کلراید
۱۳	۳-۳-۲-۲ تاثیر خوردگی میلگردها بر روی مقاومت خمثی و خیز بتن مسلح
۱۳	۳-۲ کاهش نفوذپذیری بتن با استفاده از نانو مواد
۱۵	۴-۲ تاثیر مواد افزودنی بر دوام بتن مسلح در محیط خورنده کلرایدی
۱۶	۵-۲ دوام تیرهای بتن مسلح در محیط کلرایدی
۱۷	۱-۵-۲ خوردگی آرماتور در تیرها بدون در نظر گرفتن بارهای بهرهبرداری
۲۳	۲-۵-۲ خوردگی آرماتورها در تیرها با در نظر گرفتن بارهای بهرهبرداری
	فصل سوم: مواد و مصالح مصرفی در تحقیق حاضر
۳۶	۱-۳ مقدمه
۳۶	۲-۳ سیمان
۳۷	۳-۳ سنگدانه ها
۳۸	۴-۳ کاربرد نانوذرات
۳۹	۱-۴-۳ رس ها
۴۲	۲-۴-۳ روش های تولید نانو مواد
۴۲	۳-۴-۳ نانوذرات رس (Nano-Clay)

۴۴.....	۳-۵ فوق روان کننده
۴۴.....	۳-۶ بتن
۴۴.....	۳-۷ فولاد

فصل چهارم: روش انجام کار

۴۶.....	۱-۴ مقدمه
۴۶.....	۲-۴ طراحی تیرها
۵۶.....	۳-۴ محاسبه سختی فنر مورد استفاده جهت بارگذاری تیرها
۵۷.....	۴-۴ شرایط محیطی قرارگیری نمونهها
۵۸.....	۴-۵ طرح اختلاطهای مورد استفاده
۵۸.....	۴-۶ اعمال بار بهرهبرداری به تیرها
۵۹.....	۴-۷ نحوه ثابت نگهداشتن بارهای بهرهبرداری در مدت زمان آزمایش
۶۱.....	۴-۸ انجام سیکل تر و خشک
۶۲.....	۴-۹ چگونگی انجام آزمایش خمس تیرها
۶۳.....	۴-۱۰ برنامه‌ی آزمایشگاهی
۶۳.....	۴-۱۱ قالب‌بندی، بتن‌ریزی و عمل آوری

فصل پنجم: نتایج آزمایش‌ها و تفسیر آن‌ها

۶۷.....	۱-۵ مقدمه
۶۷.....	۲-۵ مشاهدات بصری
۶۹.....	۳-۵ نتایج آزمایش‌های مربوط به مخصوصات فیزیکی و مکانیکی طرح اختلاطها
۶۹.....	۴-۱-۳ نتایج آزمایش مقاومت فشاری نمونهها
۷۳.....	۴-۲-۳ نتایج آزمایش جذب آب نمونه‌های مکعبی
۷۷.....	۴-۳-۳ نتایج آزمایش تعیین درجه هیدراتاسیون
۷۹.....	۴-۴ نتایج مربوط به دوام تیرهای بتن مسلح
۷۹.....	۴-۱-۴ منحنی بار-تغییر مکان و مد گسیختگی تیرها
۸۱.....	۴-۱-۱-۴ منحنی‌های بار-تغییر مکان تیرهای بتن مسلح بعد از ۲۸ روز عمل آوری در آب
۸۲.....	۴-۱-۴-۵ منحنی‌های بار-تغییر مکان تیرهای بتن مسلح بعد از ۶ ماه نگهداری در سیکل تر و خشک و محلول کلراید، بدون بار بهرهبرداری
۸۴.....	۴-۱-۴-۵ منحنی‌های بار-تغییر مکان تیرهای بتن مسلح بعد از ۶ ماه نگهداری در سیکل تر و خشک و محلول کلراید، تحت بار بهرهبرداری
۸۶.....	۴-۱-۴-۵ تاثیر محلول کلراید و سیکل‌های تر و خشک بر عملکرد خمی تیرها
۸۹.....	۴-۱-۴-۵ تاثیر اعمال بارهای بهرهبرداری بر عملکرد خمی تیرها
۹۲.....	۴-۱-۴-۵ تاثیر نانورس بر عملکرد خمی تیرها
۹۳.....	۴-۵ مقایسه‌ی سختی الاستیک تیرها
۹۵.....	۴-۶ مقایسه‌ی نتایج

فصل ششم: نتیجه‌گیری و پیشنهادها

۹۷.....	۱-۶ مقدمه
۹۷.....	۲-۶ نتیجه‌گیری
۹۸.....	۳-۶ موارد پیشنهادی جهت مطالعات آتی
۱۰۰	فهرست منابع

فهرست جدول‌ها

عنوان و شماره	صفحه
جدول ۱-۲: مشخصات خوردگی در تیرهای مورد آزمایش [۳۸].	۱۹
جدول ۲-۲: برنامه آزمایش‌ها [۴۲].	۲۹
جدول ۳-۱: نتایج آزمایش شیمیایی سیمان.	۳۷
جدول ۳-۲: مشخصات مصالح مصرفی.	۳۸
جدول ۳-۳: طرح اختلاط بتن‌های استفاده شده.	۴۴
جدول ۴-۱: شرح آزمایش‌های مربوطه و تعداد نمونه‌ها.	۶۵
جدول ۴-۲: جزئیات تیرهای تحت بررسی.	۶۶
جدول ۵-۱: نتایج آزمایش مقاومت فشاری.	۷۰
جدول ۵-۲: درصد مقاومت فشاری کسب شده نمونه‌ها نسبت به نمونه ۲۸ روزه.	۷۱
جدول ۵-۳: درصد مقاومت فشاری کسب شده نمونه‌ها نسبت به نمونه ۱۴ روزه.	۷۲
جدول ۵-۴: درصد کاهش مقاومت فشاری نمونه‌ها نسبت به نمونه شاهد در سنین مختلف.	۷۲
جدول ۵-۵: درصد جذب آب نمونه‌ها پس از ۲۸ روز عمل آوری در آب.	۷۴
جدول ۵-۶: درصد جذب آب نمونه‌ها پس از ۹۰ روز عمل آوری در آب.	۷۴
جدول ۵-۷: درصد جذب آب نمونه‌ها پس از ۲۱۰ روز عمل آوری در آب.	۷۵
جدول ۵-۸: میزان کاهش جذب آب ۲۱۰ روزه نسبت به سن ۲۸ روزه.	۷۶
جدول ۵-۹: نتایج آزمایش درجه هیدراتاسیون خمیر سیمان.	۷۹
جدول ۵-۱۰: نتایج آرمایش خمس تیرها.	۸۰
جدول ۵-۱۱: مقایسه نمودارهای شکل ۱۳-۵.	۸۲
جدول ۵-۱۲: مقایسه عددی نمودارهای شکل ۱۵-۵.	۸۴
جدول ۵-۱۳: مقایسه نمودارهای شکل ۱۵-۵.	۸۶
جدول ۵-۱۴: حداکثر تغییر مکان و بار متحمله.	۸۹
جدول ۵-۱۵: حداکثر تغییر مکان و بار متتحمله.	۹۲
جدول ۵-۱۶: مقایسه شیب ناحیه‌ی الاستیک نمودار بار- تغییر مکان تیرها.	۹۴

فهرست شکل‌ها

عنوان و شماره	صفحه
شکل ۱-۲: فرآیند خوردگی میلگرد در بتن [۱۵]	۱۰
شکل ۲-۲: افزایش حجم محصولات خوردگی فولاد مدفعون در بتن [۱۵]	۱۰
شکل ۳-۲: مکانیزم خوردگی آرماتور در حضور یون کلراید [۱۶]	۱۱
شکل ۴-۲: حالت‌های مختلف پوشش میلگرد در فرآیند خوردگی	۱۲
شکل ۵-۲: ترک‌های مشهود بر اثر خوردگی آرماتورها [۳۸]	۱۹
شکل ۶-۲: سیستم بارگذاری نمونه‌ها (اندازه‌ها به سانتیمتر) [۳۸]	۱۹
شکل ۷-۲: سیکل‌های بارگذاری در نمونه‌ها [۳۸]	۲۰
شکل ۸-۲: چرخه‌های هیسترسیس در حالت خمیری (سیکل دوم) [۳۸]	۱۹
شکل ۹-۲: چرخه‌های هیسترسیس در حالت خمیری (مقاآمت نهایی) [۳۸]	۲۱
شکل ۱۰-۲: (الف) نرخ کاهش سختی در بارگذاری نیمه اول سیکل‌ها (ب) نرخ کاهش سختی در بارگذاری نیمه دوم سیکل‌ها [۳۸]	۲۱
شکل ۱۱-۲: جزئیات آرماتورگذاری تیرهای گروه A و B [۴۱]	۲۴
شکل ۱۲-۲: نحوه بارگذاری و نگهداری نمونه‌ها در محیط خورنده [۴۱]	۲۵
شکل ۱۳-۲: نقشه ترک‌ها در تیر B2 بعد از ۲۸ روز عمل‌آوری [۴۱]	۲۵
شکل ۱۴-۲: نقشه ترک‌ها در تیر B2 بعد از ۶ سال [۴۱]	۲۶
شکل ۱۵-۲: نقشه ترک‌ها در تیر B2 بعد از ۱۴ سال [۴۱]	۲۶
شکل ۱۶-۲: نقشه ترک‌ها در تیر B2 بعد از ۱۷ سال [۴۱]	۲۷
شکل ۱۷-۲: میزان کلراید کل در عمق قرارگیری میلگرد (۱۶ میلیمتر) در نواحی بتن فشاری و کششی تیرهای خوردده شده در سنین مختلف [۴۱]	۲۷
شکل ۱۸-۲: تغییر شکل وسط تیرها بعد از ۱۴ و ۱۷ سال نگهداری [۴۱]	۲۸
شکل ۱۹-۲: نحوه بارگذاری و قرارگیری نمونه‌ها در محلول نمک [۴۲]	۲۸
شکل ۲۰-۲: تاثیر میزان خاکستر بادی بر نفوذ کلراید به صورت یک بعدی [۴۲]	۲۹
شکل ۲۱-۲: تاثیر میزان خاکستر بادی بر نفوذ کلراید به صورت دو بعدی [۴۲]	۳۰
شکل ۲۲-۲: تاثیر نسبت آب به مواد پودری بر نفوذ کلراید به صورت یک بعدی [۴۲]	۳۰
شکل ۲۳-۲: تاثیر نسبت آب به مواد پودری بر نفوذ دو بعدی [۴۲]	۳۱
شکل ۲۴-۲: تاثیر نسبت تنش اعمالی بر نفوذ یک بعدی یون کلراید در نمونه‌های ۴۰٪ خاکستر بادی [۴۲]	۳۱
شکل ۲۵-۲: تاثیر نسبت تنش اعمالی بر نفوذ دو بعدی یون کلراید در نمونه‌های ۴۰٪ خاکستر بادی [۴۲]	۳۲
شکل ۲۶-۲: نمونه تیرهای بتن مسلح [۴۳]	۳۲

شکل ۲-۲: آماده کردن تیرها ایجاد خوردگی تسريع شده [۴۳]	۳۳
شکل ۲-۸-۲: نمودار بار تغییر شکل تیر تحت تاثیر همزمان بار و خوردگی میلگرد [۴۳]	۳۴
شکل ۲-۹-۲: نمودار تغییر شکل افزایش یافته بر حسب زمان تحت بارگذاری و خوردگی [۴۳]	۳۴
شکل ۳۰-۲: اثرات همزمان بارگذاری و خوردگی بر رفتار (عملکرد خمثی) تیرها [۴۳]	۳۵
شکل ۱-۳: نمودار دانه‌بندی ماسه مورد استفاده و حدود استاندارد	۳۷
شکل ۲-۳: نمودار دانه‌بندی شن مورد استفاده و حدود استاندارد	۳۸
شکل ۴-۳: a) آلومینیم هشت وجهی و b) ورقه هشت وجهی آلومینا (گیسیت) [۵۳]	۴۰
شکل ۴-۳: a) سیلیسیم چهار وجهی و b) ورقه چهار وجهی سیلیکا [۵۳]	۴۱
شکل ۵-۳: الف) کائولینیت b) ایلیت c) مونت موریلوئیت [۵۵]	۴۱
شکل ۶-۳: نانورس مونت موریلوئیت	۴۳
شکل ۷-۳: توزیع اندازه ذرات نانورس مصرفی در تحقیق حاضر	۴۳
شکل ۸-۳: نمودار تنش-کرنش میلگرد کششی (Ø12) مورد استفاده در تحقیق حاضر	۴۵
شکل ۱-۴: ابعاد تیرهای مورد استفاده در تحقیق حاضر	۴۷
شکل ۲-۴: چگونگی قرارگیری میلگردها در مقطع	۴۷
شکل ۳-۴: دیاگرام تنش و کرنش مقطع در حالت بالانس (تعادل)	۴۷
شکل ۴-۴: دیاگرام تنش و کرنش مقطع در حالتی که فولاد فشاری جاری می‌شود	۴۹
شکل ۵-۴: دیاگرام تنش و کرنش مقطع در حالتی که فولادهای کششی جاری می‌شوند و فولاد فشاری جاری نمی-شود	۵۰
شکل ۶-۴: چگونگی بارگذاری تیر	۵۲
شکل ۷-۴: مقطع معادل جهت محاسبه لنگر ترک خوردگی	۵۳
شکل ۸-۴: مقطع معادل برای محاسبه بار بهره‌برداری	۵۴
شکل ۹-۴: نحوه اندازه‌گیری سختی فر	۵۷
شکل ۱۰-۴: نحوه فشرده شدن کامل فنر توسط دستگاه تست خمث	۵۷
شکل ۱۱-۴: نحوه اعمال بار بهره‌برداری به تیرها (الف) دید از پهلو b) دید از بالا	۵۹
شکل ۱۲-۴: ترک خمثی ایجاد شده در اثر بار بهره‌برداری	۵۹
شکل ۱۳-۴: شکل شماتیک حوضچه‌های نگهداری نمونه‌ها در محلول کلراید	۶۱
شکل ۱۴-۴: نحوه قرارگیری نمونه‌ها در محلول کلراید	۶۲
شکل ۱۵-۴: چگونگی آزمایش خمث تیرهای بتن مسلح (الف) شماتیک (ب) واقعی	۶۲
شکل ۱۶-۴: عمل آوری نمونه‌های مکعبی در آب	۶۴
شکل ۱۷-۴: آرماتوربندی تیرها	۶۴
شکل ۱۸-۴: قالب‌های چوبی مورد استفاده	۶۴
شکل ۱۹-۴: نحوه قرارگیری میلگردها در قالب‌ها	۶۴
شکل ۲۰-۴: بتن‌ریزی تیرهای بتن مسلح	۶۵
شکل ۱-۵: لایه‌ی نازک نانورسی تشکیل شده بر روی نمونه‌های حاوی نانورس	۶۸
شکل ۲-۵: ترک‌های ایجاد شده در تیرها پس از آزمایش خمث (الف) تیر در سن ۲۸ روز (ب) تیر پس از ۶ ماه قرارگیری در محیط خورنده	۶۹
شکل ۳-۵: لکه‌های زنگ ایجاد شده در تیرهای تحت بار بهره‌برداری در محلول کلراید و سیکل تر خشک	۶۹
شکل ۴-۵: مد گسیختگی نمونه مکعبی تحت آزمایش مقاومت فشاری	۷۰

شکل ۵-۵: مقاومت فشاری طرح اختلاط‌ها	۷۰
شکل ۶-۵: درصد افزایش مقاومت فشاری نمونه‌ها نسبت به نمونه ۱۴ روزه	۷۲
شکل ۷-۵: نمودار جذب آب /۵ ساعته نمونه‌ها	۷۵
شکل ۸-۵: نمودار جذب آب ۲۴ ساعته نمونه‌ها	۷۶
شکل ۹-۵: کاهش جذب آب ۲۱۰ روزه نسبت به سن ۲۸ روزه	۷۷
شکل ۱۰-۵: نمونه خمیری قرار داده شده در استون جهت توقف واکنش هیدراتاسیون	۷۸
شکل ۱۱-۵: قرار دادن نمونه‌های خمیر سیمان در کوره	۷۸
شکل ۱۲-۵: مد گسیختگی تیرها	۸۰
شکل ۱۳-۵: نمودار بار- تغییر مکان برای تیرهای حاوی درصدهای مختلف نانورس پس از ۲۸ روز عمل آوری در آب	۸۲
شکل ۱۴-۵: مقایسه نمودار آزمایش خمیشی تیرهای بدون بار بهره‌برداری قرار گرفته در سیکل‌های تر و خشک و محلول کلراید به مدت ۶ ماه	۸۳
شکل ۱۵-۵: منحنی‌های بار- تغییر مکان تیرهای بتن مسلح قرار گرفته در محلول کلراید و سیکل تر و خشک تحت بار بهره- برداری پس از ۶ ماه	۸۵
شکل ۱۶-۵: تاثیر سیکل‌های تر و خشک و محلول کلراید به مدت ۶ ماه بر روی عملکرد خمیشی تیرهای بدون نانورس	۸۷
شکل ۱۷-۵: تاثیر سیکل‌های تر و خشک و محلول کلراید به مدت ۶ ماه بر روی عملکرد خمیشی تیر حاوی /۵ درصد نانورس	۸۷
شکل ۱۸-۵: تاثیر سیکل‌های تر و خشک و محلول کلراید به مدت ۶ ماه بر روی عملکرد خمیشی تیر حاوی /۵ درصد نانورس	۸۸
شکل ۱۹-۵: نمودار بار- تغییر مکان تیر با بار بهره‌برداری (B3) و تیر بدون بار بهره‌برداری (B1)	۹۰
شکل ۲۰-۵: نمودار بار- تغییر مکان تیر با بار بهره‌برداری (B9) و تیر بدون بار بهره‌برداری (B1)	۹۰
شکل ۲۱-۵: نمودار بار- تغییر مکان تیر با بار بهره‌برداری (B3) و تیر بدون نانورس (B2)	۹۱
شکل ۲۲-۵: نمودار بار- تغییر مکان تیر با بار بهره‌برداری (B9) و تیر بدون بار بهره‌برداری (B8)	۹۱
شکل ۲۳-۵: نمودار بار- تغییر مکان تیر بدون نانورس و تیر حاوی ۱٪ نانورس پس از ۶ ماه قرارگیری در محلول و سیکل تر و خشک	۹۳
شکل ۲۴-۵: نمودار بار- تغییر مکان تیر بدون نانورس و تیر حاوی ۱٪ نانورس پس از ۶ ماه قرارگیری در محلول و تحت بار بهره‌برداری و سیکل تر و خشک	۹۳

فصل اول

کلیات

۱-۱ مقدمه

مقاومت بالا و دسترسی آسان به اجزا تشکیل دهنده بتن، این ماده را به عنوان یکی از اجزا شاخص و کلیدی سازه‌ها و ابنيه معرفی می‌کند. یکی از دغدغه‌های مهندسین سازه، استفاده بهینه و ایمن از بتن مسلح است. از عواملی که استفاده از بتن مسلح را با چالش مواجه کرده و ایمنی و کاربری آن را در طول زمان و به خصوص در محیط‌های خورنده به خطر انداخته است، خوردگی آرماتور در بتن توسط یون‌کلراید می‌باشد. در این میان نفوذپذیری بتن نقش بسزایی در خوردگی آرماتورها و نهایتاً تخریب بتن داشته است. نفوذپذیری با تخلخل رابطه مستقیمی دارد، یعنی هر چقدر بتن تخلخل بیشتری داشته باشد نفوذپذیری آن افزایش می‌یابد و در نتیجه اگر این بتن در معرض یون‌های کلراید قرار گیرد، خوردگی میلگردها سریع‌تر رخ می‌دهد. در سازه‌های واقعی به علت بارهای بهره‌برداری عضو بتن آرمه ترک می‌خورد. وجود این ترک‌ها باعث می‌شود یون‌های کلراید به آسانی وارد بتن شوند و در نتیجه خوردگی میلگردها بیشتر شده و عملکرد عضو بتن آرمه کاهش یابد. همچنین در سال‌های اخیر تحقیقاتی بر روی نقش افروندنی‌های مختلف بر دوام بتن مسلح در محیط‌های خورنده نیز انجام گرفته است. به دلیل اینکه ذرات رس دارای بار مثبت و منفی در سطح خود می‌باشند، این احتمال وجود دارد که یون‌های کلر که دارای بار منفی هستند توسط بار مثبت موجود بر سطح ذرات رس جذب شده و باعث کاهش خوردگی آرماتورها گردد.

۲-۱ ضرورت انجام تحقیق

در سال‌های اخیر، خوردگی آرماتورهای فولادی در بتن به عنوان یکی از مهمترین دلایل اصلی خرابی‌های زودرس در سازه‌های بتن‌آرمه شناخته شده است. در محیط‌های دریایی معمولاً انتشار یون کلراید و یون سولفات به داخل بتن و خوردگی ناشی از آن‌ها عامل اصلی خرابی‌ها و کاهش عمر مفید سازه‌های بتن آرمه می‌باشد. امروزه به دلیل گسترش و اهمیت فعالیت‌های نفتی و حمل و نقل دریایی و همچنین توجه به استخراج معدن در بستر دریاها، فعالیت‌های ساختمانی مانند ساخت اسکله‌ها، سکوها و سازه‌هایی مانند آن‌ها در مناطق ساحلی و اقیانوسی افزایش چشمگیری داشته است. هر چند بتن به عنوان یک ماده با دوام در محیط دریا محسوب می‌گردد، اما خرابی‌های زیادی از سازه‌های بتنی کنار ساحل گزارش شده است. هنگام طراحی سازه‌های بتنی که در مجاورت آب دریا قرار می‌گیرند، در نظر گرفتن اثر عوامل محیطی مخربی که بتن طی سالیان دراز عمر بهره‌برداری در معرض آن قرار می‌گیرد ضروری بوده و به نظر می‌رسد طراحی بر اساس معیار مقاومت برای این‌گونه سازه‌ها کافی نبوده و لازم است علاوه بر معیار مقاومت، به دوام بتن نیز در این نواحی توجه گردد. شرایط حاکم در خلیج فارس چه از نظر املاح موجود در آب دریا و چه از نظر شرایط اقلیمی حاکم در آن، این محیط را به یکی از مهاجم‌ترین محیط‌های دریایی از دیدگاه خوردگی آرماتور در سازه‌های بتنی مبدل ساخته است [۱]. خرابی‌های زودرس سازه‌های بتنی منطقه اعمال نموده است [۱]. به همین خاطر، تحقیقات هزینه‌های تعمیراتی زیادی را به کشورهای منطقه اعمال نموده است [۱]. وجه اشتراک زیادی در خصوص پایایی بتن در شرایط محیطی خلیج فارس انجام شده است [۱-۵]. وجه اشتراک تحقیق حاضر با محیط خلیج فارس، وجود عامل مهاجم، یعنی یون کلراید و ایجاد سیکل تر و خشک می‌باشد. همچنین در رویه‌های بتنی به دلیل استفاده از نمک‌های بخزدا در زمستان، رویه‌ی بتنی نیز در معرض نفوذ یون‌های کلراید قرار گرفته و به آن آسیب جدی وارد می‌سازد. در شبکه‌های فاضلاب نیز یون‌های کلراید به داخل بتن نفوذ کرده و خسارت‌های قابل توجهی به این شبکه‌ها وارد می‌سازند. از آنجا که بتن در کشش ضعیف بوده و به علت بارهای بهره‌برداری ترک می‌خورد، لذا یون‌های کلر به راحتی از طریق این ترک‌ها وارد بتن می‌شوند و موجب خوردگی میلگرد‌ها خواهد شد. لازم به ذکر است که قرارگیری بتن مسلح در محلول حاوی یون کلراید به تنها یک باعث خوردگی آرماتور نمی‌شود و برای آن‌که میلگرد بتن مسلح قرارگرفته شده در محلول کلراید دچار خوردگی شود، باید اکسیژن کافی در سطح میلگرد موجود باشد. لذا وقوع چرخه تر و خشک شدن به منظور تامین اکسیژن لازم جهت خوردگی آرماتور در عضو بتن آرمه، امری اجتناب‌ناپذیر است.

سازه‌های بتن مسلح واقعی، به منظور تحمل بارهای بهره‌برداری، طراحی و ساخته شده‌اند. بنابراین جهت بررسی رفتار سازه‌ای این اعضا که در معرض محیط‌های خورنده قرار گرفته‌اند، نیاز به شبیه‌سازی کامل شرایط آن‌ها در آزمایشگاه می‌باشد. اما تحقیقات بسیار محدودی در خصوص تاثیر همزمان بارگذاری و تهاجم یون‌های کلراید انجام شده است. لذا در این تحقیق به علت اعمال بارهای بهره‌برداری به تیرها، نمونه‌ها دچار ترک خمشی در ضخامت پوشش شده و یون‌های کلراید به راحتی به داخل پوشش بتنی روی میلگرد نفوذ می‌کنند. برای تامین اکسیژن کافی جهت خوردگی میلگردها، از چرخه‌ی تر و خشک شدن استفاده شده است. یکی از راههای جلوگیری از ایجاد خوردگی در

میلگردهای عضو بتن مسلح تحت بار بهره‌برداری، مهار کردن یون کلراید می‌باشد. انتظار می‌رود استفاده از مواد افزودنی همچون نانورس که در این تحقیق مورد بررسی قرار می‌گیرد، بتواند موجب جذب یون‌های کلراید در طول ضخامت پوشش و در نتیجه کاهش خوردگی میلگردها و جلوگیری از ضعف در باربری عضو بتن مسلح گردد. این امر بر اهمیت تحقیق حاضر می‌افزاید.

۳-۱ اهداف تحقیق

در این تحقیق اهداف زیر مورد نظر می‌باشد:

۱- بررسی تاثیر نانورس در مشخصات مکانیکی بتن معمولی.
نانورس با درصدهای 0% ، 10% و 15% با بتن معمولی مخلوط شده و برای هر طرح اختلاط ۱۴ نمونه مکعبی $10 \times 10 \times 10$ سانتیمتری به منظور اندازه‌گیری مقاومت فشاری و درصد جذب آب در سنین مختلف ساخته شده است.

۲- تعیین میزان تأثیر نانورس بر میزان خوردگی آرماتورهای تیر بتن مسلح تحت بارهای بهره‌برداری و سیکل‌های تر و خشک.

برای هر چهار طرح اختلاط با درصدهای مختلف نانورس، ۶ عدد تیر بتن مسلح بر اساس مبحث نهم مقررات ملی ساختمان طراحی و ساخته می‌شود. تیرها از نظر شرایط نگهداری به گروههای مختلف دسته‌بندی شده و در سنین مختلف تحت آزمایش خمی قرار می‌گیرند.

۴-۱ روش تحقیق

برای انجام این پایان‌نامه نیاز به ساخت و آزمایش نمونه‌های تیر بتن مسلح با طرح اختلاط‌های لازم می‌باشد. طرح اختلاط‌های استفاده شده در این تحقیق شامل چهار طرح با 0% ، 10% و 15% درصد وزنی سیمان نانورس جایگزین سیمان می‌باشد. ۲۴ عدد تیر بتن مسلح با ابعاد $150 \times 150 \times 120$ میلیمتر قالب‌بندی و بتن‌ریزی گردید و پس از ۲۸ روز عمل‌آوری در آب به سه گروه تقسیم‌بندی شدند. گروه اول شامل ۸ عدد تیر است که پس از عمل‌آوری ۲۸ روزه تحت آزمایش خمی قرار گرفتند که همان نمونه‌های شاهد می‌باشند. گروه دوم شامل ۸ عدد تیر بدون بارگذاری به مدت ۶ ماه در محلول کلراید و تحت چرخه تر و خشک قرار گرفتند و گروه سوم شامل ۸ عدد تیر بارگذاری شده است که به مدت ۶ ماه در محلول کلراید و تحت چرخه تر و خشک قرار گرفتند. پس از ساخت و عمل‌آوری نمونه‌ها، مطابق برنامه زمانی مشخص، آزمایش‌ها انجام شده و نتایج ثبت گردید. همچنین جهت ارزیابی مشخصات فیزیکی و مکانیکی طرح اختلاط‌ها، به ازای هر طرح اختلاط ۱۴ نمونه مکعبی $10 \times 10 \times 10$ سانتیمتری به منظور اندازه‌گیری مقاومت فشاری و جذب آب در سنین مختلف ساخته و مورد آزمایش قرار گرفتند.

۱-۵ مروری بر فصول پایان نامه

مباحث و موضوعات مطرح شده در این پایان نامه به تفکیک فصل به شرح زیر می‌باشد:
 پس از بیان کلیات در فصل اول، در فصل دوم مکانیزم خوردگی آرماتور در تیرهای بتون آرمه تشریح شده و سپس به مروری بر تحقیقات انجام شده در این زمینه پرداخته می‌شود. در فصل سوم خصوصیات مصالح مصرفی (سیمان، مصالح سنگی، فولاد و) تشریح خواهد شد. در فصل چهارم روش انجام کار از قبیل چگونگی ساخت و عمل آوری نمونه‌ها و انجام آزمایش‌های مربوطه تشریح می‌شود. در فصل پنجم نیز، نتایج بدست آمده از آزمایش‌ها ارائه و مورد بحث و بررسی قرار می‌گیرند. در فصل آخر، نتیجه‌گیری کلی از تحقیق حاضر و همچنین جهت مطالعات و تحقیقات آینده پیشنهادهایی ارائه می‌شود.

فصل دوم

خوردگی آرماتور در تیرهای بتن آرمه

۱-۲ مقدمه

مهمترین خرابی سازه‌های بتنی ناشی از خوردگی آرماتور بر اثر کربناتاسیون یا از بین رفتن لایه‌ی محافظ آن‌ها بر اثر نفوذ یون کلراید به درون سازه بتن آرمه است [۶]. بررسی‌های متعدد نشان داده‌اند که یون‌های کلراید، که منشا آن‌ها عمدتاً آب دریا یا مواد پخته‌داست، علت اصلی خوردگی فولاد درون بتن‌های روسازی‌های بتنی، پل‌ها و سازه‌های دریایی می‌باشد [۶]. در بعضی مواقع نفوذ کلراید فقط از طریق منافذ انجام شود. اما در سازه‌های واقعی بارهای بهره‌برداری باعث ایجاد ترک در سازه شده و در نتیجه نفوذ یون کلراید در بتن از طریق این ترک‌ها نیز صورت می‌گیرد. یون‌های کلراید وارده به بتن از طریق ساختار منفذی بتن و ریزترک‌های آن، موجب آن می‌شود که لایه‌ی نازک غیر فعال آرماتور فولادی از بین رفته و واکنش خوردگی فولاد شروع شده و یا آن را تشدید کند. حتی بتن‌های با کیفیت بالا نیز ممکن است در چنین شرایط سختی از دوام درازمدتی برخوردار نباشند. همچنین در سال‌های اخیر به منظور بهبود دوام و خواص مکانیکی بتن، از افزودنی‌های مختلفی استفاده شده است. در تحقیق حاضر، تاثیر استفاده از نانورس مونت موریلوبنیت به عنوان افزودنی، بر روی دوام و خواص مکانیکی بتن بررسی شده است. در زمینه کاربرد نانو مواد در بتن و همچنین دوام بتن و استفاده از افزودنی‌های مختلف به بتن در محیط‌های دریایی، کارهای تحقیقاتی فراوانی انجام شده که در ادامه این فصل ابتدا مکانیزم خوردگی آرماتور در بتن تشریح شده و سپس به برخی از تحقیقات انجام شده در این زمینه اشاره خواهد شد.

۲-۲ بتن مسلح و خوردگی میلگرد ها

بشر در طول تاریخ همواره به دنبال رفع نیازهای خود به کمک طبیعت بوده است. یکی از این نیازها، ساخت بناهای مختلف برای اهداف مشخص می‌باشد. یکی از مواد پرکاربرد در صنعت ساخت و ساز بتن می‌باشد که به دلیل اقتصادی بودن و همچنین کارایی مناسب، روز به روز استفاده از این ماده‌ی ارزشمند بیشتر می‌شود. در کنار این مزايا بتن در کشش به شدت دچار ضعف بوده که برای حل این مشکل، از میلگرد، پلیمرهای مسلح شده با الیاف^۱ (FRP) و غیره استفاده می‌شود که ضعف مقاومت کششی بتن را از بین می‌برد. اما اگر سازه‌ی بتن مسلح در مجاورت عوامل مهاجم همچون یون کلراید قرار گیرند، ممکن است یون‌های کلراید به میلگردهای فولادی برسند و باعث خوردگی و در نتیجه عدم کارکرد مناسب میلگردها در کشش شود و در سازه خرابی ایجاد شود. در این بخش پس از ارائه کلیاتی در مورد بتن و بتن مسلح، مکانیزم خوردگی میلگردهای فولادی در مجاورت یون کلراید تشریح می‌شود.

۲-۱ بتن

امروزه بتن به عنوان یکی از پر مصرف‌ترین مصالح ساختمانی شناخته شده است. وجود منابع فراوان مواد متشکل، سازگاری با محیط و مقاومت مطلوب دلایل مصرف روزافزون این ماده می‌باشد. مواد تشکیل دهنده بتن شامل: (الف) سیمان (ب) سنگدانه (ج) آب و (د) مواد افزودنی می‌باشد که در ادامه به شرح مختصری از مواد متشکله پرداخته می‌شود.

(الف) سیمان: سیمان فراورده‌ای است شیمیایی که دارای خاصیت چسبندگی است و در اثر تماس با آب سخت شده و محصول حاصله در برابر آب و رطوبت از دوام بالایی برخوردار است. سیمان در بتن نقش چسباننده دانه‌های سنگی را دارد. بشترین ماده تشکیل دهنده سیمان را آهک و سیلیس تشکیل می‌دهد. خاصیت چسبندگی سیمان به خاطر وجود این دو ماده است. سیمان از حدود سه هزار سال پیش شناخته و به کار رفته است. رومی‌ها آن را به مقدار زیادی در ابینه خود به کار برده‌اند. سیمانی که در گذشته استفاده شده است نوع، سیمان طبیعی و یا پوزولان بوده است که در آن از اختلاط سنگ آهک و خاک رس و یا خمیر آهک و خاکسترهای آتشفسانی حاوی سیلیس بدست می‌آمده است [۷]. ایرانیان نیز با مخلوط کردن خمیر آهک و خاکستر ساروج را تهیه می‌کردند که چیزی شبیه سیمان بوده است. در سال ۱۸۲۴ اولین قدم برای ساخت سیمان به مفهوم امروز برداشته شد [۷]. اسپدین^۲ از کلسینه کردن مخلوط سنگ آهک و خاک پودری را تهیه کرد که پس از مخلوط کردن با آب، ماده سخت و سنگی را ایجاد می‌نمود که شبیه سنگ معدن منطقه پرتلند واقع در انگلستان بود به همین خاطر به آن سیمان پرتلند می‌گفتند. تهیه و تولید سیمان به مرور زمان اصلاح و بهتر شد اما اساس کار هیچ تغییری نکرده است.

(ب) سنگدانه‌ها: حدود ۶۰ تا ۷۵ درصد از حجم بتن را مصالح سنگی تشکیل می‌دهد. از این رو سنگدانه‌ها در رفتار بتن نقش قابل توجهی را ایفا می‌کنند. سنگدانه‌ها به دو گروه درشت دانه (شن) و

^۱ Fibre Reinforced Polymer

^۲ Aaspidin

ریزدانه (ماسه) تقسیم می‌شوند. هر چه ترکیب این ذرات با دقت بیشتری انجام گیرد، میزان فضای خالی در بتن کاهش یافته و در نتیجه مقاومت و دوام بتن افزایش می‌یابد.

ج) آب: یکی از اجزای اصلی بتن محسوب می‌شود و فقط به سبب وجود آب است که واکنش شیمیایی در بتن انجام می‌شود. کیفیت آب در بتن از اهمیت خاصی برخوردار است. زیرا نا خالصی‌های موجود در آن ممکن است در گیرش سیمان اثر گذاشته و موجب به وجود آمدن اختلالاتی شود.

د) مواد افزودنی: مواد شیمیایی خاصی هستند که به صورت گرد یا مایع برای اصلاح بعضی از خواص بتن به مخلوط بتن اضافه می‌شود. برخی از این مواد مضاف عبارت‌اند از: ۱) زودگیر کننده‌ها ۲) دیرگیر کننده‌ها ۳) روان کننده‌ها ۴) حباب سازها ۵) ضد یخ‌ها ۶) مواد پوزولانی. در این تحقیق از نانورس به عنوان مواد افزودنی در بتن معمولی استفاده خواهد شد.

۲-۲ بتن مسلح

بتن سنگی مصنوعی بوده و مانند سنگی طبیعی ماده‌ای ترد (یا شکننده) قوی از نظر فشار و ضعیف از لحاظ کشش می‌باشد. از قدیم گاهی برای تقویت یا تسلیح صالح سنگی و بتن از فلزات استفاده می‌کردند. بام یک گرمابه رومی از نوع بتن با صالح سنگی درشت احداث شده که توسط میله‌های برنزی و آهنی تقویت گردیده است. معماری به نام رن^۱ برای ایجاد مقاومت در گنبدهای کلیسا از سن پال در برابر فشارهای جانبی زنجیری آهنی قرار داده و معماری دیگر به نام سولفلو^۲ [۸] از میله‌های آهن کار شده در بنای سنگی کلیسا از سن سولپیس^۳ پاریس استفاده نموده است. ولی تا قرن نوزدهم اصول تقویت به صورت علمی امروزی ناشناخته بود و تنها در اوخر قرن نوزدهم بود که روش‌های محاسباتی ابداع شد. یکی از اولین نمونه‌های بتن مسلح در نمایشگاه بین المللی پاریس به نمایش گذارد شد. این نمونه یک قایق آبی بود که توسط یک پیمانکار فرانسوی به نام لامبو^۴ طراحی و با بتن آهکی تقویت شده توسط شبکه‌ای از میله‌های آهنی ساخته شد. در سال ۱۸۵۴، یک کارگر گچ‌کار انگلیسی به نام ویلکینسون^۵ [۸] روشی را برای احداث تاوه‌های بتی که به کمک یک شبکه گسترده از میله‌های آهنی و یا سیم‌های فرعی تقویت می‌شدند به ثبت رساند. روش وی در قرار دادن فولادهایی برای تحمل تنش‌های کششی نشان می‌دهد که او اصول مربوط به اجرای بتن مسلح را درک می‌کرده است. روش‌های بسیاری در طی قرن نوزدهم به ثبت رسیدند که در این تاریخچه به تعداد محدودی از این روش‌ها اشاره می‌شود. ژوزف موینه^۶ فرانسوی که یک باغبان و نیز سازنده وسایل ساده باغبانی بود، ایده استفاده از گلدان‌هایی از جنس بتن به جای گلدان‌های چوبی برای نگهداری نهال‌ها و درختان کوچک را در فکر خود پروراند ولی پس از آن که دریافت بتن بیش از حد حالت شکنندگی دارد با شبکه‌ای از آهن گلدان‌های خود را مسلح نمود. این روش در سال ۱۸۶۷ به ثبت رسید و در بی‌آن

^۱ Renn

^۲ Soflo

^۳ Saint Sulpice

^۴ Lambo

^۵ Wilkinson

^۶ Joseph moyneh

موارد کاربرد دیگری از بتن مسلح نظیر مخازن بتنی و غیره توسط وی ارائه شد. سازه‌های بتن مسلح در اروپا معمولاً به روش موبینه معروف بود^[۸]. یک آمریکایی به نام هایت^۱ [۸] آزمایش‌هایی را بر روی تیرها انجام داد و یکی از نخستین کسانی بود که اصول اولیه مربوط به رفتار بتن مسلح را به صورتی که امروزه درک می‌شود شناخت. وی نتیجه یافته‌های خود را در سال ۱۸۸۷ در لندن انتشار داد ولی با استقبال روبه رو نشد. در اواخر قرن نوزدهم در آلمان و سایر کشورها نیز آزمایش‌هایی به عمل آمد که منجر به تدوین تئوری‌های طراحی بر اساس محاسبات ریاضی توسط اشخاصی چون کونن^۲، مورش^۳، و سایرین گردید. اولین کتاب درباره بتن مسلح به زبان انگلیسی در سال ۱۹۰۴ توسط مارش^۴ و دون^۵ به چاپ رسید^[۸]. در دهه‌ی اول قرن بیستم، آزمایش‌های متعددی توسط دانشمندان در آمریکا و در اروپا جهت تعیین مقاومت فشاری و مدول الاستیسیته‌ی بتن انجام گرفت^[۹]. از سال ۱۹۱۶ تا ۱۹۳۵، بیشتر تحقیقات بر ستون‌های بتن‌آرمه تحت بار محوری متمرکز شد^[۹]. در دو دهه‌ی ۱۹۳۰ تا ۱۹۵۰، ستون‌های بتن‌آرمه با بار خارج از محور، شالوده‌های بتن‌آرمه و نیز مقاومت نهایی تیرها بیشتر مورد توجه محققین قرار گرفت^[۹]. از آن به بعد تاکنون تحقیقات بسیار زیادی در زمینه‌ی رفتار قطعات و سازه‌های بتن‌آرمه انجام گرفته است. هزاران رساله‌ی کارشناسی ارشد و دکترا در این زمینه در دهه‌های اخیر به رشتہ‌ی تحریر درآمده است. اما هنوز ناشناخته‌های فراوانی در زمینه‌ی رفتار اجزا بتن‌آرمه وجود دارد. از همین رو در حال حاضر نیز بسیاری از تحقیقات زنده‌ی دانشگاه‌های معتبر و مراکز تحقیقاتی دنیا در زمینه‌ی اجزا و قطعات بتن‌آرمه معطوف می‌گردد^[۹].

۱-۲-۲-۲ میلگردهای خمشی (طولی) و برشی (عرضی) در تیرهای بتن مسلح

میلگردهای طولی میلگردهایی هستند که برای تحمل تنש‌های کششی ناشی از خمش در عضو بتن آرمه استفاده می‌شوند. میلگردهای عرضی نیز میلگردهایی هستند که برای تحمل تنش‌های کششی ناشی از برش و پیچش در عضو بتن آرمه استفاده می‌شوند. محاسبات این میلگردها مطابق ضوابط آیین‌نامه‌ای انجام می‌شود. آنچه از اهمیت ویژه‌ای برخوردار می‌باشد پیوستگی بتن با این میلگردها می‌باشد. پیوستگی بتن و آرماتورهای مسلح کننده، نقش کلیدی را در رفتار اعضا سازه‌ای بتن مسلح در هنگام قرارگیری تحت اثر بارهای استاتیکی و دینامیکی ایفا می‌کند. مقاومت پیوستگی آرماتورهای مسلح کننده قرار گرفته در بتن به چسبندگی شیمیایی، پایداری اصطکاکی و پیوستگی برشی بستگی دارد. هنگامی که چسبندگی شیمیایی از بین می‌رود، مکانیزم پیوستگی وابسته به نوع آرماتورها خواهد بود. در آرماتورهای ساده، بسته به میزان مقاومت اصطکاکی آرماتورها، لغزش به سمت خارج اتفاق می‌افتد و درنتیجه شکست از نوع لغزشی خواهد بود. در آرماتورهای آجدار، علاوه بر چسبندگی شیمیایی و پایداری اصطکاکی، چفت و بست مکانیکی بین بتن و آچهای آرماتور سبب بالا رفتن مقاومت پیوستگی می‌گردد. در میان مکانیزم‌های پیوستگی، پیوستگی برشی آرماتور آجدار با بتن از

^۱ Hyatt

^۲ Conan

^۳ Mureş

^۴ Marsch

^۵ Don

اهمیت ویژه‌ای برخوردار است زیرا بیشترین تنفس پیوستگی را ایجاد می‌کند. در این مکانیزم پیوستگی، انتقال نیرو از طریق درگیر شدن آج‌های آرماتور و کلیدهای بتونی بین آن‌ها انجام می‌شود [۹]. در این تحقیق کلیه محاسبات مربوط به میلگردها و ضوابط اجرایی آنها مطابق با مبحث ۹ مقررات ملی ساختمان انجام خواهد گرفت [۱۰].

۳-۲ دوام بتون مسلح در برابر تهاجم یون کلراید

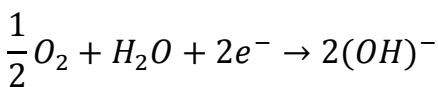
سالیان متمادی است که بتون به عنوان یکی از مصالح مصرفی ساخت دست بشر جایگاه ویژه‌ای در بین مهندسین عمران پیدا کرده است. در طول این سالها فاکتورهای گوناگونی در مورد بتون مورد بررسی قرار گرفته است. از جمله این عوامل می‌توان به دوام بتون، اشاره کرد که نقش مهم و موثری در طول عمر مفید سازه‌های بتونی دارد [۱۱]. امروزه کاهش عمر مفید، هزینه‌های تعمیر و بازسازی سازه‌های بتونی آسیب دیده در اثر خوردگی و دیگر عوامل مخرب در مناطق خورنده مانند سواحل خلیج فارس صدمات جبران‌ناپذیری بر اقتصاد کشور و توسعه‌ی پایدار در این مناطق وارد کرده است [۱۲]. در آمریکا، بیش از ۴۰ درصد پلها در شاهراه‌ها نیاز به تعویض و یا بازسازی دارند. هزینه بازسازی و یا تعمیر سازه‌های پارکینیگ در کانادا، ۴ تا ۶ میلیارد دلار تخمین زده شده است. هزینه تعمیر پلهای شاهراه‌ها در آمریکا حدود ۵۰ میلیارد دلار برآورد شده است. چهار عامل محیطی خوردگی آرماتور، واکنش قلیایی سنگدانه‌ها، بخ زدگی و حمله سولفاتها، مهمترین عواملی بوده است که موجبات خرابی زودرس در سازه‌های بتونی را فراهم می‌نماید [۱۲]. بنابراین لزوم بررسی و شناخت رفتار بتون در چنین مناطقی برای افزایش عمر مفید سازه‌های بتونی و جلوگیری از تخریب زودرس آنها ضروری می‌باشد. بدیهی است که از جمله مهم‌ترین عوامل تخریب چنین سازه‌هایی، خوردگی آرماتور می‌باشد [۳]. اکثر قریب به اتفاق محققین بتون بر این عقیده‌اند که حضور یون کلر در سازه‌های بتونی، اصلی‌ترین عامل خوردگی شیمیایی در آرماتورهای فولادی و ایجاد ترک می‌باشد [۱۳]. پیش‌بینی شده است که برای بازسازی کلیه سازه‌های بتون آرمه آسیب دیده در آمریکا در اثر مساله خوردگی میلگردها، به بودجه نجومی ۱ تا ۳ تریلیون دلار نیاز می‌باشد [۱۴]. لذا یافتن روشی برای کاهش خوردگی سازه‌های بتون آرمه از اهمیت ویژه‌ای برخوردار می‌باشد.

۲-۲-۱ مکانیزم خوردگی میلگرد در بتون

خوردگی فولاد در بتون یک فرایند الکتروشیمیایی است. پتانسیل الکتروشیمیایی‌ای که تشکیل پیل خوردگی می‌دهد به علت تفاوت تمیز یون‌های حل شده در نزدیکی فولاد، نظیر یون‌های قلیایی، کلرایدها و اکسیژن به وجود می‌آید. در نتیجه قسمتی از فلز آند و قسمتی دیگر کاتد می‌شود که منجر به زنگ زدن آهن خواهد شد. واکنش‌های آندی و کاتدی به صورت معادلات (۱-۲) و (۲-۲) می‌باشند:

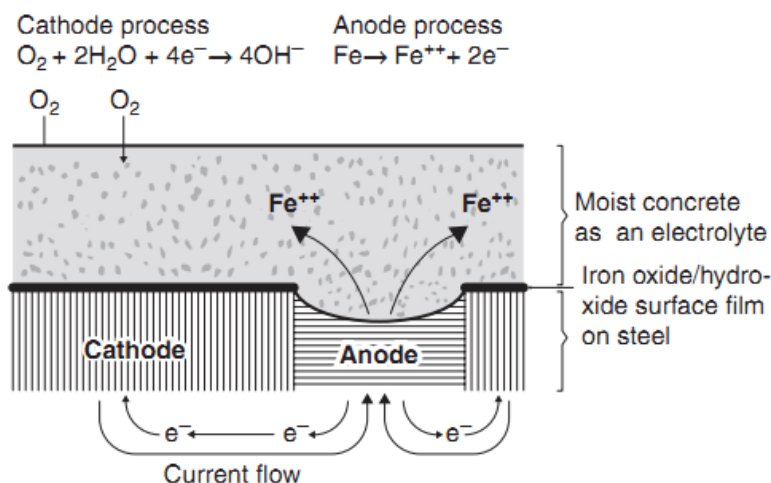


(۲-۲) واکنش آندی:



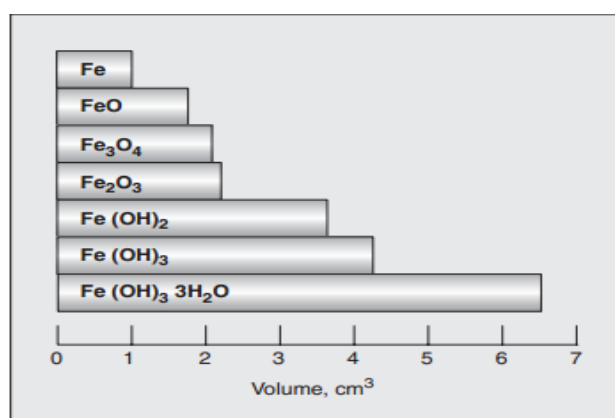
چنانچه در معادله (۲-۲) مشاهده می‌شود، حضور اکسیژن و رطوبت جهت شروع خوردگی آرماتور

ضروری است. اما فرایند آندی تا موقعی که قشر حفاظتی یا قشر اکسید آهن غیر فعال به علت اسیدی شدن محیط از بین نرفته باشد، نمی‌تواند اتفاق بیفتد. با انتقال یون‌های هیدروکسید به قسمت آندی، زنگزدگی ایجاد می‌شود. این واکنش در معادله (۳-۲) ارائه شده است. این فرایند در شکل ۱-۲ نیز نشان داده شده است.



شکل ۱-۲: فرآیند خوردگی میلگرد در بتن [۱۵].

تبديل آهن به زنگ همراه با افزایش حجمی است که، بسته به حالت اکسیداسیون که در شکل ۲ نشان داده شده است، ممکن است به اندازه ۶۰۰ درصد فلز اولیه باشد. این افزایش حجم علت اصلی انبساط و ترک خوردگی بتن می‌باشد. با ادامه فرآیند خوردگی، بتن پوشش میلگرد در اثر فشار انبساطی ناشی از این افزایش حجم، خراب شده و در نتیجه باعث کاهش مقطع عضو بتن مسلح و کاهش ظرفیت باربری عضو می‌شود.



شکل ۲-۲: افزایش حجم محصولات خوردگی فولاد مدفون در بتن [۱۵].